

血清 miR-149-3p 和 CXCR3 水平与 aSAH 后迟发性脑缺血的相关性分析

付宏亮 景文记 卢俊义

【摘要】目的 探讨血清微小 RNA-149-3p(miR-149-3p)、CXC 趋化因子受体 3(CXCR3)与动脉瘤性蛛网膜下腔出血(aSAH)后迟发性脑缺血(DCI)的相关性。**方法** 2020 年 6 月~2022 年 6 月前前瞻性收集 aSAH 共 175 例,采用 qRT-PCR 法检测血清 miR-149-3p,采用酶联免疫吸附法检测血清 CXCR3 水平。**结果** 175 例中,58 例发生 DCI,发生率为 33.1%;117 例未发生 DCI。与未发生 DCI 病人比较,DCI 病人血清 miR-149-3p 水平显著降低($P<0.05$),CXCR3 水平显著升高($P<0.05$)。aSAH 病人血清 miR-149-3p 水平与 CXCR3 水平呈明显负相关($r=-0.462, P<0.001$);多因素 logsitic 回归分析显示,miR-149-3p 水平降低、CXCR3 水平增高是 aSAH 后发生 DCI 的独立危险因素($P<0.05$)。ROC 曲线分析显示,血清 miR-149-3p 水平 ≤ 0.94 预测 aSAH 后发生 DCI 的曲线下面积(AUC)为 0.828,敏感度为 82.76%,特异度为 72.65%;血清 CXCR3 水平 ≥ 12.81 ng/L 预测 aSAH 后发生 DCI 的 AUC 为 0.812,敏感度为 79.31%,特异度为 83.76%;血清 miR-149-3p ≤ 0.94 联合血清 CXCR3 联合 ≥ 12.81 ng/L 预测 aSAH 后发生 DCI 的 AUC 为 0.906,敏感度为 91.38%,特异度为 83.76%。两者联合预测效果更好($P<0.05$)。**结论** aSAH 后发生 DCI 病人血清 miR-149-3p 水平降低、CXCR3 水平升高,是 aSAH 后发生 DCI 独立危险因素,可能作为预测 aSAH 后发生 DCI 的指标。

【关键词】 动脉瘤性蛛网膜下腔出血;微小 RNA-149-3p;CXC 趋化因子受体 3;迟发性脑缺血

【文章编号】 1009-153X(2023)01-0011-04 **【文献标志码】** A **【中国图书资料分类号】** R 743.9

Correlation of serum levels of miR-149-3p and CXCR3 with delayed cerebral ischemia after aneurysmal subarachnoid hemorrhage

FU Hong-liang, JING Wen-ji, LU Jun-yi. Department of Neurosurgery, Linfen People's Hospital, Linfen 041000, China

【Abstract】 Objective To investigate the correlation between serum levels of microRNA-149-3p (miR-149-3p) and CXC chemokine receptor 3 (CXCR3) and delayed cerebral ischemia (DCI) after aneurysmal subarachnoid hemorrhage (aSAH). **Methods** A total of 175 patients with aSAH were prospectively recruited from June 2020 to June 2022. Serum levels of miR-149-3p and CXCR3 were detected by qRT-PCR and enzyme-linked immunosorbent assay, respectively. **Results** Of these 175 patients, 58 patients had DCI (33.1%), and 117 did not. The incidence of DCI was 33.1%. Compared with patients without DCI, the serum level of miR-149-3p was significantly decreased ($P<0.05$) and the serum CXCR3 level was significantly increased ($P<0.05$) in patients with DCI. The serum level of miR-149-3p was significantly negatively correlated with the serum level of CXCR3 in aSAH patients ($r=-0.462, P<0.001$). Multivariate logsitic regression analysis showed that a decrease in serum level of miR-149-3p and an increase in serum level of CXCR3 were independent risk factors for DCI after aSAH ($P<0.05$). ROC curve analysis showed that the area under the curve (AUC) of serum miR-149-3p level ≤ 0.94 for predicting DCI after aSAH was 0.828, the sensitivity was 82.76%, and the specificity was 72.65%. The AUC of serum CXCR3 level ≥ 12.81 ng/L for predicting DCI after aSAH was 0.812, the sensitivity was 79.31%, and the specificity was 83.76%. The AUC of serum miR-149-3p ≤ 0.94 combined with serum CXCR3 ≥ 12.81 ng/L for predicting DCI after aSAH was 0.906, the sensitivity was 91.38%, and the specificity was 83.76%. The prediction effectiveness of two indexes was significantly better than that of a single index ($P<0.05$). **Conclusions** A decrease in serum level of miR-149-3p and an increase in serum level of CXCR3 are independent risk factors for DCI after aSAH, which may be used as indicators to predict DCI after aSAH.

【Key words】 Aneurysmal subarachnoid hemorrhage; MicroRNA-149-3p; CXC chemokine receptor 3; Delayed cerebral ischemia

动脉瘤性蛛网膜下腔出血(aneurysmal subarachnoid hemorrhage, aSAH)是一种病情极其凶险的脑血管病,占有脑卒中的 5%~10%,病死率、

致残率较高^[1,2]。迟发性脑缺血(delayed cerebral ischemia, DCI)是 aSAH 的主要并发症,主要发生在 aSAH 初次出血后 4~12 d,是导致病人死亡、残疾的主要原因^[3,4]。探讨 aSAH 后并发 DCI 的危险因素,对于疾病的治疗具有重要意义。微小 RNA (microRNA, miRNA)与缺血性脑卒中等密切相关^[5]。研究发现,miR-149-3p 与肿瘤、肠炎、胃炎等疾

病的发生、发展密切相关^[6],与缺血/再灌注损伤也有关系^[7]。生物学软件(Targetscan)在线分析显示,miR-149-3p 与 CXCR3 有靶向结合位点。CXCR3 为趋化因子受体,主要表达于活化的 T 淋巴细胞,参与多种疾病的免疫反应。研究显示,SAH 及其并发症与 T 辅助细胞亚群失衡有关^[8]。本文探讨血清 miR-149-3p、CXCR3 水平与 aSAH 后发生 DCI 的相关性,为临床提供参考。

1 资料与方法

1.1 病例选择标准 纳入标准:符合 aSAH 诊断标准^[9];初次发病且在发病 24 h 内入院;临床资料完整。排除标准:非动脉瘤破裂所致 SAH;入院 72 h 内死亡或放弃治疗;合并颅内感染;心、肝、肾功能不全;合并自身免疫系统疾病或凝血功能障碍。

1.2 研究对象 2020 年 6 月~2022 年 6 月前瞻性收集 aSAH 共 175 例,其中男 78 例,女 97 例;年龄 45~76 岁,平均(63.01±10.51)岁。

1.3 DCI 的诊断标准^[10] 发病 4 d 后发生神经功能缺损症状(偏瘫、失语、意识下降),且持续时间在 1h 以上;CT 或 MRI 检查发现新梗死灶,并排除颅内再出、脑积水、脑水肿、癫痫等。

1.4 检测方法

1.4.1 血清 miR-149-3p 水平的检测 入院 24 h 内采集肘静脉血 5 ml,3 000 转/min(离心半径 10 cm)离心 20 min,收集血清,-80 ℃保存待检。血清 miR-149-3p 表达水平采用 qRT-PCR 法检测,使用 Trizol Reagent(广州济恒医药科技有限公司)提取血清总 RNA,紫外分光光度计检测其浓度及纯度,根据 First Strand cDNA Synthesis Kit(上海钰博生物科技有限公司)合成 cDNA,以 U6 为内参,使用 PCR 试剂盒(上海钰博生物科技有限公司)进行 PCR 扩增。miR-149-3p 上游引物 5'-CTCGAGGTCTGCCAGCTGGGGCCCTCCCT-3',下游引物 5'-GCGGCCGCCTTCCAAGAATCTTTATTG-3';U6 上游引物 5'-CTCGCTTCGGCAGCACA-3',下游引物 5'-AACGCTTCA CGAATTTGCGT-3'。采用 2^{-△△CT} 法计算 miR-149-3p 表达水平。

1.4.2 血清 CXCR3 水平的检测 采用酶联免疫吸附法检测血清 CXCR3 水平,试剂盒购自上海酶联生物科技有限公司。

1.5 统计学分析 采用 SPSS 23.0 软件分析;计量资料用 $\bar{x} \pm s$ 表示,采用 *t* 检验;计数资料采用 χ^2 检验;采用 Pearson 相关系数分析血清 miR-149-3p、CXCR3 水

平相关性;ROC 曲线分析血清 miR-149-3p、CXCR3 对 aSAH 发生 DCI 的诊断价值;多因素 logistic 回归模型分析影响 aSAH 发生 DCI 的危险因素;*P*<0.05 为差异有统计学意义。

2 结果

2.1 DCI 的发生率 175 例中,58 例发生 DCI,发生率为 33.1%;117 例未发生 DCI。

2.2 DCI 病人血清 miR-149-3p、CXCR3 水平变化 与未发生 DCI 病人比较,DCI 病人血清 miR-149-3p 表达水平显著降低(*P*<0.05),CXCR3 水平显著升高(*P*<0.05)。见表 1。

表 1 aSAH 病人血清 miR-149-3p、CXCR3 水平变化

组别	例数(例)	miR-149-3p	CXCR3(ng/L)
无 DCI 组	117	1.03±0.21	10.64±3.21
DCI 组	58	0.75±0.16*	15.82±4.36*

注:与无 DCI 组相应值比,* *P*<0.05;aSAH. 动脉瘤性蛛网膜下腔出血;DCI. 迟发性脑缺血

表 2 aSAH 后发生 DCI 危险因素的单因素分析

危险因素	无 DCI 组(n=117)	DCI 组(n=58)
性别(例,男/女)	53/64	25/33
年龄(岁)	63.24±9.65	62.55±9.76
吸烟(例)	35(29.91%)	20(34.48%)
饮酒(例)	30(25.64%)	17(29.31%)
脑卒中心(例)	15(12.82%)	10(17.24%)
高血压(例)	62(52.99%)	35(60.34%)
糖尿病(例)	59(50.43%)	38(65.52%)
高脂血症(例)	36(30.77%)	25(43.10%)
低蛋白血症(例)	25(21.37%)	23(39.66%)*
动脉瘤位置(例)		
前循环	90(76.92%)	47(81.03%)
后循环	27(23.08%)	11(18.97%)
动脉瘤直径(mm)	8.97±2.32	9.25±3.03
治疗方式(例)		
介入术	65(55.36%)	35(60.34%)
夹闭术	52(44.44%)	23(39.66%)
术前 Hunt Hess 分级(例)		
I~Ⅲ	63(53.85%)	21(36.21%)
Ⅳ~Ⅴ	54(46.15%)	37(63.79%)*
mFisher 评分(例)		
1~2 分	71(60.68%)	22(37.93%)
≥3 分	46(39.32%)	36(62.07%)*

注:与无 DCI 组相应值比,* *P*<0.05;aSAH. 动脉瘤性蛛网膜下腔出血;DCI. 迟发性脑缺血

2.3 血清 miR-149-3p、CXCR3 水平相关性 血清 miR-149-3p 表达水平与 CXCR3 水平呈明显负相关 ($r=-0.462, P<0.001$)。

2.4 aSAH 后发生 DCI 的危险因素 单因素分析显示低蛋白血症、Hunt-Hess 分级、mFisher 评分、血清 miR-149-3p 与 CXCR3 水平与 aSAH 后发生 DCI 有关 ($P<0.05$, 表 1、表 2)。多因素 logistic 回归分析显示, 低蛋白血症、Hunt-Hess 分级 IV~V 级、mFisher 评分 ≥ 3 分、血清 miR-149-3p ≤ 0.94 、血清 CXCR3 ≥ 12.81 ng/L 是 aSAH 后发生 DCI 的独立危险因素 ($P<0.05$; 表 3)。

2.5 血清 miR-149-3p、CXCR3 水平评估 aSAH 发生 DCI 的价值 ROC 曲线分析显示, 血清 miR-149-3p、CXCR3 对评估 aSAH 后发生 DCI 具有一定的价值, 两者联合评估效果更好 ($P<0.05$)。见表 4、图 1。

3 讨论

DCI 是 aSAH 的主要并发症, 发病率约为 30%, 可导致失语、昏迷、偏瘫等严重神经功能障碍, 致残率、病死率较高。DCI 与脑血管痉挛、炎症反应、早期脑损伤、血栓形成等因素有关, 早期预测 aSAH 后 DCI 发生风险对于改善病人预后具有重要意义^[11]。^[12]。miRNA 的异常表达与急性脑梗死、脑缺血等脑血管疾病密切相关, 通过调控血管生成、炎症反应等病理过程参与脑缺血、缺氧过程^[13]。王娜等^[14]研究表明, aSAH 后发生 DCI 病人血清 miR-210 表达水平升高, 是 aSAH 后发生 DCI 的独立危险因素。miR-149-3p 通过调节免疫反应、炎症反应、细胞增殖、分

化参与疾病进展, 与肿瘤、糖尿病心肌病、炎症性疾病密切相关^[15]。本文结果显示, aSAH 后发生 DCI 病人血清 miR-149-3p 表达水平降低, 提示 miR-149-3p 与 DCI 的有关。研究显示, miR-149-3p 在动脉粥样硬化冠状动脉组织表达降低, 参与调节血管平滑肌细胞迁移和增殖^[16]; 还可通过调节性 T 细胞分化, 在肿瘤免疫逃逸发挥抑制作用^[17]。

经 targetscan 在线分析显示, miR-149-3p 与 CXCR3 有靶向结合位点。CXCR3 属于 CXC 趋化因子亚家族受体, 主要表达于 Th1 细胞和 NK 细胞表面, 负责介导 T 淋巴细胞向炎症部位聚集, 在血管生成、炎症反应和肿瘤免疫逃逸中发挥重要作用^[18, 19]。CXCR3 与其配体 CXCL10 结合, 参与缺血性中风后小鼠淋巴细胞调节, 与神经保护有关^[20]。本文结果显示 aSAH 后发生 DCI 病人血清 CXCR3 水平升高; 相关性分析显示, miR-149-3p 与 CXCR3 呈明显负相关, 推测 miR-149-3p 通过靶向调节 CXCR3 表达, 通过免疫调节与炎症反应参与 aSAH 后 DCI 的发生发展。

本文多因素 logistic 回归分析显示, 血清 miR-

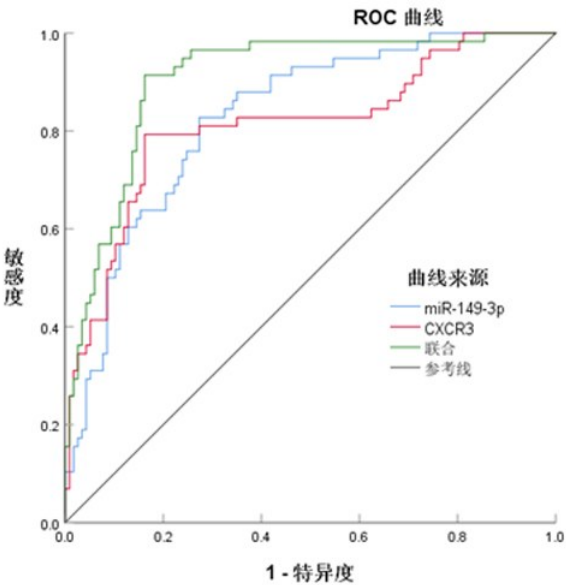


图 1 ROC 曲线分析血清 miR-149-3p、CXCR3 预测动脉瘤性蛛网膜下腔出血后发生迟发性脑缺血的价值

表 3 aSAH 后发生 DCI 危险因素的多因素 logistic 回归分析

危险因素	比值比	95%置信区间	P 值
低蛋白血症	2.651	1.279~5.500	0.008
术前 Hunt-Hess 分级 IV~V 级	2.795	1.294~6.038	0.009
mFisher 评分 ≥ 3 分	2.314	1.210~5.560	0.005
血清 miR-149-3p 水平降低	1.978	1.152~3.398	0.013
血清 CXCR3 水平增高	3.014	1.515~5.996	0.001

注: aSAH. 动脉瘤性蛛网膜下腔出血; DCI. 迟发性脑缺血

表 4 血清 miR-149-3p、CXCR3 预测 aSAH 后发生 DCI 的效果

指标	曲线下面积	95%置信区间	临界值	敏感度	特异度	约登指数
血清 miR-149-3p	0.828	0.764~0.81	0.94	82.76%	72.65%	0.554
血清 CXCR3	0.812	0.746~0.867	12.81 ng/L	79.31%	83.76%	0.630
两者联合	0.906	0.853~0.45		91.38%	83.76%	0.751

注: aSAH. 动脉瘤性蛛网膜下腔出血; DCI. 迟发性脑缺血

149-3p \leq 0.94、血清 CXCR3 $>$ 12.81 ng/L 是 aSAH 后发生 DCI 的独立危险因素 ($P<0.05$) ; ROC 曲线分析显示,血清 miR-149-3p 联合 CXCR3 评估 aSAH 发生 DCI 的 AUC 为 0.906,敏感度为 91.38%,特异度为 83.76%。这提示临床监测血清 miR-149-3p、CXCR3 水平有助于评估 aSAH 病人发生 DCI 的风险。

总之,aSAH 后发生 DCI 病人血清 miR-149-3p 水平降低、CXCR3 水平升高,是 aSAH 后发生 DCI 独立危险因素,可能作为预测 aSAH 后发生 DCI 的指标。

【参考文献】

[1] 河南省医师协会神经介入专业委员会,河南省微循环学会神经重症分会.《高分级动脉瘤性蛛网膜下腔出血综合救治》试行方案中原区域专家共识[J]. 中国临床神经外科杂志,2022,27(6):513-521.

[2] 陈 鹤,赵玉龙,刘佳明,等.前交通动脉破裂动脉瘤术后认知功能障碍的影响因素[J]. 中国临床神经外科杂志, 2022,27(5):366-369.

[3] 廖廷泉,苏祖禄,石 会. CT灌注成像预测及诊断蛛网膜下腔出血后迟发性脑缺血的 Meta 分析[J]. 中国临床神经外科杂志,2018,23(7):458-462.

[4] Ikram A, Javaid MA, Ortega-Gutierrez S, *et al.* Delayed cerebral ischemia after subarachnoid hemorrhage [J]. J Stroke Cerebrovasc Dis, 2021, 30(11): 1-10.

[5] Tian Y, Jiang Y, Dong X, *et al.* miR-149-3p suppressed epithelial-mesenchymal transition and tumor development in acute myeloid leukemia [J]. Hematology, 2021, 26(1): 840-847.

[6] Vasudeva K, Munshi A. miRNA dysregulation in ischaemic stroke: focus on diagnosis, prognosis, therapeutic and protective biomarkers [J]. Eur J Neurosci, 2020, 52(6): 3610-3627.

[7] Hu X, Xiang Z, Zhang W, *et al.* Protective effect of DLX6-AS1 silencing against cerebral ischemia/reperfusion induced impairments [J]. Aging (Albany NY), 2020, 12(22): 23096-23113.

[8] Chaudhry SR, Kahlert UD, Kinfe TM, *et al.* Differential polarization and activation dynamics of systemic T helper cell subsets after aneurysmal subarachnoid hemorrhage (SAH) and during post-SAH complications [J]. Sci Rep, 2021, 11(1): 1-10.

[9] 中华医学会神经病学分会,中华医学会神经病学分会脑

血管病学组,中华医学会神经病学分会神经血管介入协作组. 中国蛛网膜下腔出血诊治指南 2019[J]. 中华神经科杂志,2019,52(12):1006-1021.

[10] Zafar SF, Westover MB, Gaspard N, *et al.* Interrater agreement for consensus definitions of delayed ischemic events after aneurysmal subarachnoid hemorrhage [J]. J Clin Neurophysiol, 2016, 33(3): 235-240.

[11] 田 竺,胡群亮,王延民,等.脑脊液气体分析与动脉瘤性蛛网膜下腔出血后迟发性脑缺血的相关性[J]. 中南医学科学杂志,2021,49(2):169-172.

[12] Rumalla K, Lin M, Ding L, *et al.* Risk factors for cerebral vasospasm in aneurysmal subarachnoid hemorrhage: a population-based study of 8346 patients [J]. World Neurosurg, 2021, 145(1): e233-e241.

[13] Xing F, Liu Y, Dong R, *et al.* miR-374 improves cerebral ischemia reperfusion injury by targeting Wnt5a [J]. Exp Anim, 2021, 70(1): 126-136.

[14] 王 娜,卞玉杰,田继新. 血清 mir-210、HIF-1 α 水平与动脉瘤性蛛网膜下腔出血后迟发性脑缺血的关系[J]. 中风与神经疾病杂志,2020,37(4):302-305.

[15] Cao Y, Wang Z, Yan Y, *et al.* Enterotoxigenic bacteroides-fragilis promotes intestinal inflammation and malignancy by inhibiting exosome-packaged miR-149-3p [J]. Gastroenterology, 2021, 161(5): 1552-1566.

[16] Jing R, Pan W, Long T, *et al.* LINC00472 regulates vascular smooth muscle cell migration and proliferation via regulating miR-149-3p [J]. Environ Sci Pollut Res Int, 2021, 28(10): 12960-12967.

[17] Xu QR, Tang J, Liao HY, *et al.* Long non-coding RNA MEG3 mediates the miR-149-3p/FOXP3 axis by reducing p53 ubiquitination to exert a suppressive effect on regulatory T cell differentiation and immune escape in esophageal cancer [J]. J Transl Med, 2021, 19(1): 264-278.

[18] Yan Y, Zheng L, Du Q, *et al.* Interferon regulatory factor 1 (IRF-1) activates anti-tumor immunity via CXCL10/CXCR3 axis in hepatocellular carcinoma (HCC) [J]. Cancer Lett, 2021, 506(1): 95-106.

[19] Karin N. CXCR3 ligands in cancer and autoimmunity, chemoattraction of effector T cells, and beyond [J]. Front Immunol, 2020, 11(1): 976-985.

[20] Cai W, Shi L, Zhao J, *et al.* Neuroprotection against ischemic stroke requires a specific class of early responder T cells in mice [J]. J Clin Invest, 2022, 32(15): 1-17.

(2022-11-03 收稿,2022-12-20 修回)